

本書遵照教育部專科學校課程標準編著

電 路 學

編 著 者

姚 靜 波

興業圖書股份有限公司

本書遵照教育部專科學校課程標準編著

電 路 學

編 著 者

姚靜波

興業圖書股份有限公司

中華民國六十八年修訂新版

電 路 學

編 著 者：姚 靜 波

發 行 人：王 志 康

登 記 證：局版台業字第〇四一〇號

出 版 者：興業圖書股份有限公司

發 行 所：興業圖書股份有限公司

台南市勝利路一一八號

電 話：七 三 二 五 三 號

郵 撥 南 字 三 一 五 七 三 號

版 權 所 有
翻 印 必 究

定 價：150

編輯大意

- 一、本書係依照六十五年度教育部最新頒佈工專課程標準編輯而成；除供學校教材之外，並可供電工從業人員自修與參考之用。
- 二、本書內容適合於學生具有電工原理或基本電學知識後，介紹直交流電性質，電路元件，正弦波複數運算，網路分析，暫態現象，三相電路及非正弦波分析等知識，使具備研習電機機械，電力系統等課程之基礎。
- 三、本書承蒙陳昇安、歐日晝二位先生協助整理特此感謝。

電 路 學

編著者：姚 靜 波

發行人：王 志 康

登記證：局版台業字第〇四一〇號

出版者：興業圖書股份有限公司

發行所：興業圖書股份有限公司

台南市勝利路一一八號

電話：二七三二五三號

郵撥南字三一五七三號

目 錄

第一章 正弦電壓與電流

| | | |
|-----|-----------------|----|
| 1-1 | 正弦波 | 1 |
| 1-2 | 正弦電壓的產生 | 2 |
| 1-3 | 頻率及角速率 | 5 |
| 1-4 | 相角及相角差 | 6 |
| 1-5 | 平均值及有效值 | 8 |
| 1-6 | 波形因數及波峯因數 | 14 |
| 1-7 | 正弦波的加減運算 | 16 |

第二章 複數和相量

| | | |
|-----|---------------|----|
| 2-1 | 正弦波的表示法 | 23 |
| 2-2 | 複數和相量 | 23 |
| 2-3 | 複數的運算 | 26 |

第三章 電路元件

| | | |
|-----|------------|----|
| 3-1 | 獨立電源 | 36 |
| 3-2 | 電阻器 | 39 |
| 3-3 | 電感器 | 44 |
| 3-4 | 電容器 | 44 |

第四章 正弦穩態電路

| | | |
|-----|-------------|----|
| 4-1 | 阻抗和導納 | 46 |
|-----|-------------|----|

| | | |
|-----|-----------------|----|
| 4-2 | 串聯電路 | 52 |
| 4-3 | 並聯電路 | 60 |
| 4-4 | 串聯和並聯等值關係 | 63 |
| 4-5 | 串並聯電路 | 66 |

第五章 電功率

| | | |
|-----|------------------|----|
| 5-1 | 功率的一般式 | 70 |
| 5-2 | 電阻吸收的功率和能量 | 71 |
| 5-3 | 電感中的功率和能量 | 72 |
| 5-4 | 電容中的功率和能量 | 75 |
| 5-5 | 一般電路的功率 | 77 |
| 5-6 | 複功率 | 81 |
| 5-7 | 功率因數的提高 | 85 |
| 5-8 | 最大電功率傳輸定理 | 87 |

第六章 網路分析

| | | |
|-----|------------------|-----|
| 6-1 | 電壓源及電流源的變換 | 100 |
| 6-2 | 克希荷夫定理 | 103 |
| 6-3 | 網目分析法 | 105 |
| 6-4 | 節點分析法 | 113 |
| 6-5 | 戴維寧定理 | 123 |
| 6-6 | 諾頓定理 | 131 |
| 6-7 | 重疊原理 | 139 |
| 6-8 | 倒量定理 | 143 |
| | 補償定理 | 146 |
| | 米爾曼定理 | 151 |

第七章 耦合電路

| | | |
|-----|------------------|-----|
| 7-1 | 自感和互感 | 160 |
| 7-2 | 互感電路 | 161 |
| 7-3 | 互感的極性 | 162 |
| 7-4 | 耦合電路的電壓方程式 | 170 |
| 7-5 | 耦合係數 | 172 |
| 7-6 | 理想變壓器 | 175 |
| 7-7 | 耦合電路的等效電路 | 180 |
| 7-8 | 反射阻抗 | 183 |

第八章 四端網路

| | | |
|-----|-----------------------|-----|
| 8-1 | 矩陣 | 189 |
| 8-2 | 四端網路的描述 | 205 |
| 8-3 | T 、 π 形網路 | 215 |
| 8-4 | 實部固定的相量軌跡 | 218 |
| 8-5 | 虛部固定的相量軌跡 | 221 |
| 8-6 | 直線對原點的倒轉 | 222 |
| 8-7 | 圓對原點的倒轉 | 224 |
| 8-8 | 四端網路的互聯 | 225 |
| 8-9 | 四端網路的軌跡 | 229 |

第九章 諧振電路

| | | |
|-----|---------------------|-----|
| 9-1 | 串聯諧振 | 236 |
| 9-2 | 並聯諧振 | 239 |
| 9-3 | Q 值和網路函數 | 244 |
| 9-4 | 選擇性、半功率點及頻率帶寬 | 252 |

| | |
|------------------------------|-----|
| 第十章 對稱平衡多相電路 | |
| 10-1 多相電路 | 258 |
| 10-2 對稱平衡多相系統 | 263 |
| 10-3 Y型連接三相電路 | 265 |
| 10-4 Δ 型連接三相電路 | 268 |
| 10-5 三相電路的功率和量度 | 275 |
| 第十一章 不平衡三相電路 | |
| 11-1 不對稱電源和不平衡負載 | 289 |
| 11-2 不平衡三相電路的網目解法 | 296 |
| 11-3 對稱分量 | 299 |
| 11-4 對稱分量的應用 | 305 |
| 第十二章 電路的暫態 | |
| 12-1 電阻—電感電路的暫態現象 | 314 |
| 12-2 電阻—電容電路的暫態現象 | 325 |
| 12-3 R—L—C電路的暫態現象 | 334 |
| 第十三章 非正弦波的分析 | |
| 13-1 基波和諧波 | 343 |
| 13-2 對稱及非對稱波 | 344 |
| 13-3 傅氏級數 | 350 |
| 13-4 非正弦波的數學分析 | 353 |
| 13-5 非正弦波的有效值 | 357 |
| 13-6 非正弦波所產生的功率和功率因數 | 363 |
| 附錄一 習題答案 | 373 |
| 附錄二 常用金屬及合金之電阻係數及溫度係數表 | 373 |
| 附錄三 三角函數表 | 374 |

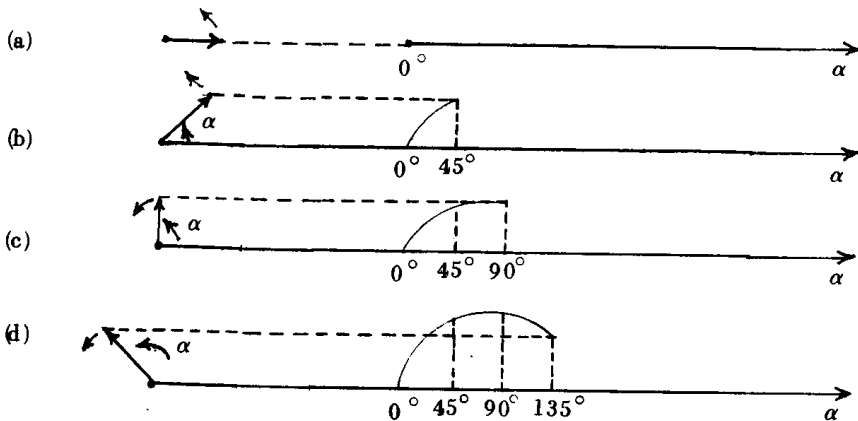
第一章 正弦電壓與電流

概說

目前商用電能多用交流方式產生而輸送。雖需用直流之處，往往亦以交流電供給再轉變為直流，其主要原因為交流電可以高壓方式產生，並可以最經濟最便捷之方法將其升高或降低，但直流電則不能。在輸電時可利用高電壓低電流方式以減低輸電損失，使遠距離供電得以經濟。

1-1 正弦波

圖 1-1-1，稱為正弦波，若矢量繼續旋轉，正弦波即隨矢量每旋轉 360° 重覆一次。



2 電路學

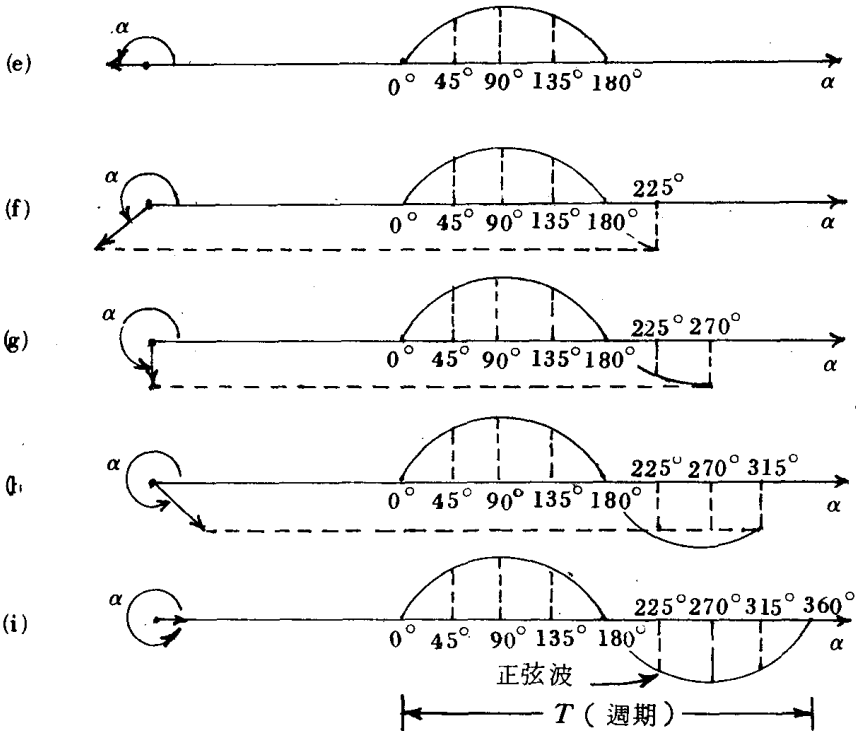


圖 1-1-1

1-2 正弦電壓的產生

正弦的交流電壓，係利用電磁感應原理而產生。

圖 1-2-1 為基本交流發機，有一圈導體在永久磁鐵的磁場中旋轉，此旋轉的導體稱為電樞。磁極部分為固定不動者，稱為定子。當電樞由外力旋轉，割切磁通線時，在 $a-b$ 兩端即產生感應電動勢。在各瞬時感應電動勢的方向，可由“橡皮帶”方法決定。此方法係用橡皮帶喻磁通線，例如圖 1-2-1，旋轉的線圈在 a 及 b 正在壓迫磁通線（橡皮帶），若將右手握移動的導線，四指代表壓迫磁通線的方向，姆指則為感應電動勢的方向。此時 $a-b$ 間若有負載，電流將依姆指方向在線圈內流通。

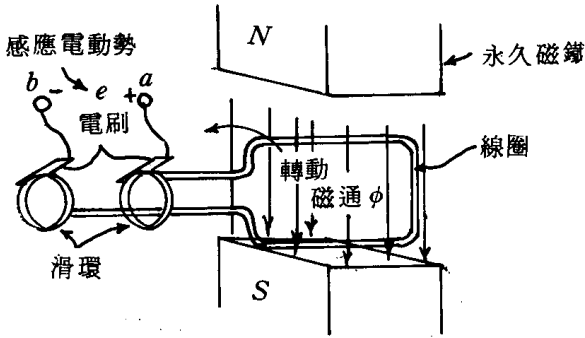


圖 1-2-1

圖 1-2-2 為利用此方法決在位置 a 的感應電動勢方向。圖 1-2-2(c)，為位置 a 及 b 所感應電動勢的方向，其間連有負載，電流從 a 經負載流至 b 。事實上，所有此種交流發電機在接有負載時，電流均從發電機為正的一端流出。

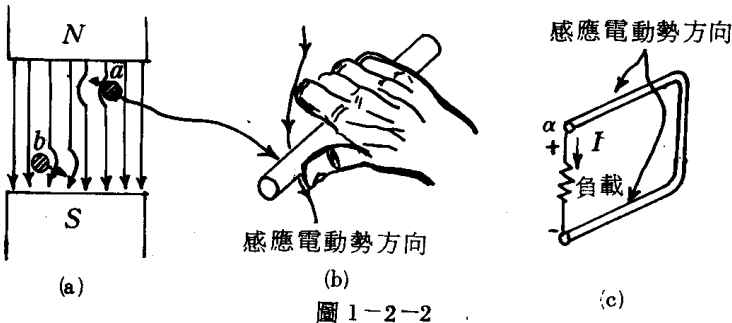


圖 1-2-2

接著，再考慮 a 及 b 的極性，以及在 ab 間感應電動勢的大小。圖 1-2-3 中，顯示線圈三個不同的位置， ab 間並接有負載。當線圈在位置 1 時，如圖(a)，此時導體運動方向與磁通線平行，未割切磁通線。若依法拉第定律，因為 $\Delta \phi = 0$ ，所以此瞬時的感應電動勢為零， a 或 b 均無極性顯示。

在位置 2 時，如圖(b)，由“橡皮帶”方法決定 a 為正， b 為負。在位置 3 時，如圖(c)， ab 間的感應電動勢最大，其極性與位置 2 時相同。

4 電路學

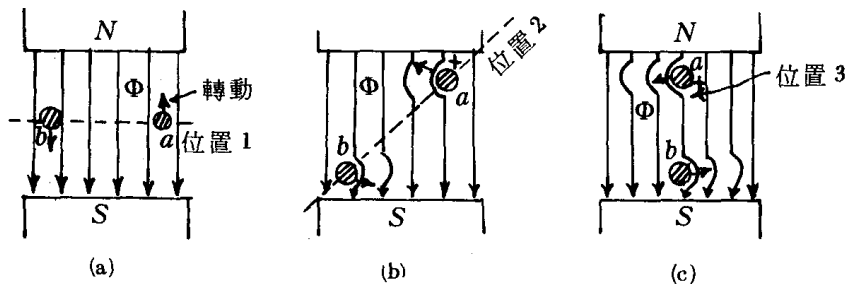


圖 1-2-3

當線圈繼續旋轉，因在每一瞬時所割切磁通線數減少，故感應電動勢變小了。然而， a 及 b 的極性仍未改變，直到位置 4 時，感應電動勢遂降為零。當線圈經過位置 4， a 及 b 的極性乃行反向。當線圈正在位置 4 時，其與在位置 1 時情況相同， a 及 b 無極性顯示。線圈繼續旋轉，因在每一瞬時割切磁通線的數量增多，所以感應電動勢即再度增大。在位置 5 時與在位置 2 時的感應電動勢大小相同，但 a 及 b 的極性相反。在位置 6 時，如圖 1-2-4，感應電動勢又達最大，而線圈繼續旋轉，電動勢又形減小，如位置 3 及 4 的情況。直到位置 1，感應電動勢再度為零，若再繼續旋轉，第 2 圈經歷的情況與第 1 圈情況完全相同。

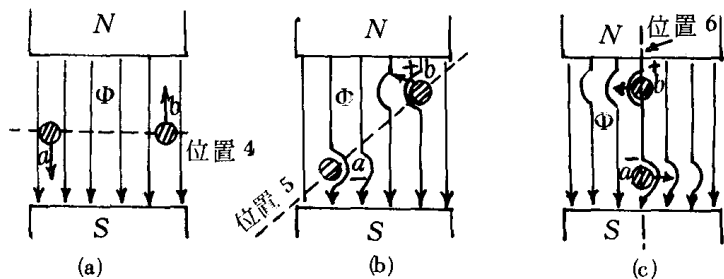


圖 1-2-4

圖 1-2-5 為旋轉的線圈在 a 及 b 兩點間感應電動勢的變化，注意此曲線，每經過位置 1，即重覆一次。事實上，每經過位置 4 及位

置 6，或沿水平軸任何位置，皆為重覆變化，各相同位置電動勢的極性及大小皆相同。

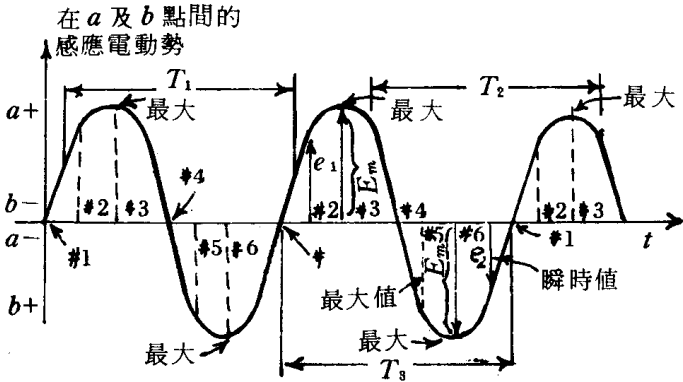


圖 1-2-5

1-3 頻率及角速率

為便於以後分析，需一以頻率或週期表示圖 1-1-1 中旋轉半徑矢量的角速度關係式，因其旋轉一週所需時間，等於圖 1-1-1 (i) 的波形週期，所以角速度可以下式表示：

$$\text{角速度 } (\omega) = \frac{\text{距離 (徑)}}{\text{時間 (秒)}} = \frac{2\pi}{T} \text{ 徑/秒}$$

$$2\pi \text{ 徑} = 360^\circ \quad 1 \text{ 徑} = 57.3^\circ$$

但因 $f = 1/T$ ，上式可改為：

$$\omega = 2\pi f \text{ 徑/秒}$$

例 1. 求每秒 60 週正弦波的角速度。

解： $\omega = 2\pi f = (6.28)(60)$

$$= 377 \text{ 徑/秒}$$

例 2. 求角速度為 314 徑/秒正弦波的頻率及週期。

解：依公式 (12.4)

$$\omega = \frac{2\pi}{T} \quad \therefore T = \frac{2\pi}{\omega} = \frac{6.28}{314} = 0.02 \text{ 秒}$$

$$f = \frac{1}{T} = \frac{1}{0.02} = 50 \text{ 週/秒}$$

1-4 相角 (phase angle) 及相差 (phase Difference)

單個正弦波之相角為波形值為零之點到 $t=0$ 間之角度，如圖 1-4-1 所示， θ 即為相角，(a) 圖中波形經過水平軸時，其斜率為正，且在 $t=0$ 時間之前，則波形以 $i = I_m \sin(\omega t + \theta)$ 表示之，如 (b) 圖中波形經過水平軸時，其斜率亦為正，但在 $t=0$ 時間之後，則波形以 $i = I_m \sin(\omega t - \theta)$ 表示之。

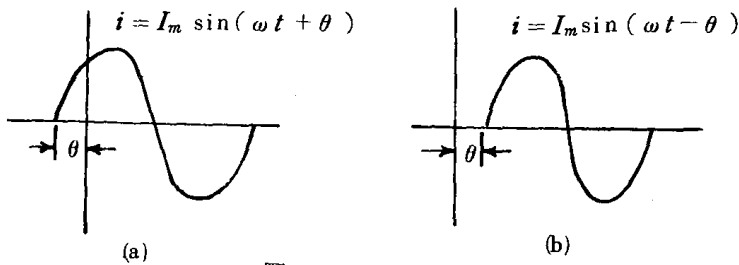


圖 1-4-1

所謂相差即兩個正弦波相角之差，如圖 1-4-2 所示為兩正弦波 i 及 v 兩者相角差為 θ ，因電流波 i 較電壓波 v 先達到波形正向之最大值，吾人謂電流領前 (leading) 電壓 θ 角度，或電壓落後 (lagging) 電流 θ 角度。

若 $\theta = 45^\circ$ 時，圖 1-4-2 中電流及電壓波形之方程式為

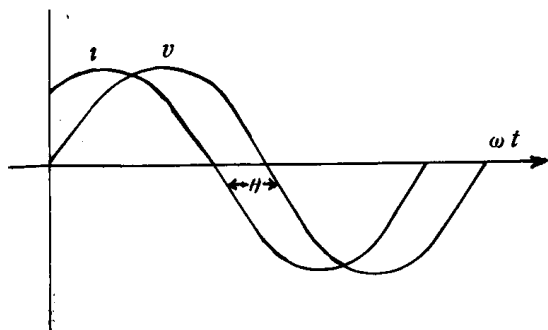


圖 1-4-2 電流與電壓波之相角差

$$v = V_m \sin \omega t \quad (1-4-1)$$

$$i = I_m \sin(\omega t + 45^\circ)$$

若 $v = 100 \sin(\omega t + 45^\circ)$ $i = 10 \sin(\omega t - 15^\circ)$

則 v 及 i 之相差為 $45^\circ - (-15^\circ) = 60^\circ$

在比較兩波形之相角差時，下列三角函數之性質甚為重要

$$\sin(-\alpha) = -\sin \alpha$$

$$\cos(-\alpha) = \cos \alpha$$

$$-\sin(\alpha) = \sin(\alpha \pm 180^\circ)$$

$$-\cos(\alpha) = \cos(\alpha \pm 180^\circ)$$

例 1. 若 $v = 10 \sin(\omega t + 30^\circ)$

$$i = 5 \sin(\omega t + 70^\circ)$$

試說明兩波形之相位關係

解：電流領前電壓 $70^\circ - 30^\circ = 40^\circ$

電壓落後電流 $70^\circ - 30^\circ = 40^\circ$

例 2. 若 $i = 15 \sin(\omega t + 60^\circ)$

$$v = 10 \sin(\omega t - 30^\circ)$$

8 電路學

試說明兩波形之相位關係

解： $60^\circ - (30^\circ) = 90^\circ$

電流領前電壓 90° 或電壓落後電流 90°

例 3. 若 $v = 3 \sin(\omega t - 70^\circ)$

$$i = 2 \sin(\omega t - 50^\circ)$$

說明兩兩波形之相位關係

解： $70^\circ - 50^\circ = 20^\circ$

電流領前電壓 20° 或電壓落後電流 20°

例 4. 若 $i = 2 \cos(\omega t + 20^\circ)$

$$v = 3 \sin(\omega t - 10^\circ)$$

試說明兩波形之相位關係

解： 先將電流波 i 化成正弦函數

$$i = 2 \cos(\omega t + 20^\circ) = 2 \sin(\omega t + 20 + 90^\circ)$$

$$= 2 \sin(\omega t + 110^\circ)$$

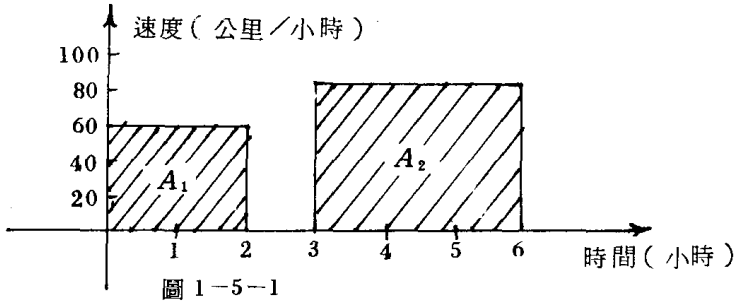
$$110 - (-10) = 120$$

電流領前電壓 120° 或電壓落後電流 120°

1-5 平均值 (Average Value)

若有一部計程車從台南開到台北需六小時，共走了 360 公里，則該車之平均速度為 $360/6 = 60$ 公里/小時，若司機以每小時 60 公里開行 2 小時到彰化，休息一小時吃午飯，然後再以每小時 80 公里開行 3 小時到台北，整個行程如圖 1-5-1 所示，其平均速度可用下式求之，即

$$\text{平均速度} = \frac{\text{曲線下之面積}}{\text{曲線之長度}} \quad (1-5-1)$$

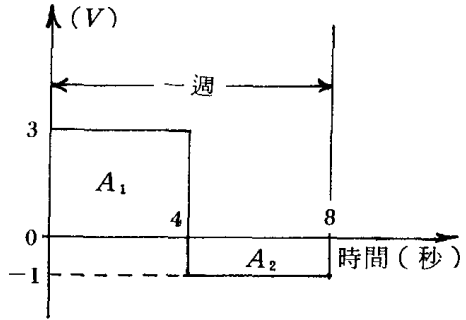


即 平均速度 = $\frac{A_1 + A_2}{6} = \frac{60 \times 2 + 80 \times 3}{6} = \frac{360}{6}$
 = 60 公里/小時

(1-5-1) 式亦可用於求電壓及電流之平均值。

例 1. 如圖 3-15 所示之電壓波形，求其一週之平均值。

解：電壓平均值



$$V_{Avg} = \frac{A_1 + (-A_2)}{8 - 0}$$

$$= \frac{(3 \times 4) + (-1)(4)}{8} = 1 \text{ 伏}$$

若電流或電壓波形不是方波及鋸齒波等，而是正弦波或其他形式波形時，則其面積之計算必須用積分方法，如圖 1-5-3 所示之波形，若其函數為 $f(t)$ ，則由 t_1 開始曲線一週期之面積為

$$\int_{t_1}^{t_1+T} f(t) dt$$

其平均值為